

دراسة تأثير إضافة مسحوق كاربوكسي مثيل سليلوز إلى بولي إثيلين وطائِي الكثافة على الحجب الإشعاعي للأشعة السينية

^١مزاهم محمد عبدالله

^٢زياد طارق فايك

^٣وسام عبد الحسن

^٤شيماء هاشم جاسم

^٥رائد مسلم شعبان

^١جامعة البصرة، كلية العلوم ، قسم الفيزياء

^٢جامعة البصرة، كلية التربية للعلوم الصرفة ، قسم الفيزياء

^٣جامعة البصرة، مركز أبحاث البولимер ، قسم الكيمياء

الكلمات المفتاحية:

- كاربوكسي مثيل سليلوز
- بولي إثيلين وطائِي الكثافة
- الحجب الإشعاع

الخلاصة

أجريت قياسات التوهين للأشعة السينية لمدى الفولتنية (21kV) لمواد بوليمرية مطعمة باستعمال مصدر الأشعة السينية (X-Ray Unit) لبيان مدى تأثير إضافة مادة كاربوكسي مثيل سليلوز (CMC) إلى بولي إثيلين وطائِي الكثافة على الحجب الإشعاعي للأشعة السينية. فستحصل معامل التوهين الخطي (μ_l) من خلال المعادلات الخطية لنتائج عملية التمثيل البياني بين لوغاريتيم الامتصاصية وسمك النموذج X(cm) ومعاملات التوهين الكتلي (μ_m) لنفس المدى المذكور من خلال العلاقة البيانية $X_m(gm/cm^2)$. ان ميل العلاقة البيانية يمثل معامل التوهين سواء كان خطيا او كنثيا .

استنتجت العلاقة الطردية بين لوغاريتيم الامتصاصية للأشعة السينية مع السماكة والسمك المكافئ للمادة و دلت النتائج المستحصلة على كفاءة المادة المصنعة في امتصاص الأشعة السينية وتوهينها وهذه الكفاءة تتغير نسبياً تبعاً للنسبة المضافة ونوع المضاف مما يدل على الآثر الايجابي والكبير لهذا المضاف على خصائص التدريع الإشعاعي لبوليمر بولي إثيلين وطائِي الكثافة.

Study the Effect of adding Carboxy Methyl Cellulose Powder to Low Density Polyethylene on Shielding Radiation for the X-ray

¹Raed M.Shaban ²Shaymaa H. J. ³Wisam A.Radhi ³Ziyad T.Almaliki ¹Muzahim M. A.

¹Department of Physics, College of science, University of Basrah

²Department of Physics, College of education for Pure science, University of Basrah

³Department of Chemistry, Polymer Research Center, University of Basrah.

*Corresponding author E-mail address: mus.raad@yahoo.com

KEY WORDS :

- Carboxy methyl cellulose
- Low Density Polyethylene
- Shielding radiation

ABSTRACT

The attenuation measurements of x-ray of voltage range (21kv) for hosted polymer material were done using x-ray unit, in order to extract the effect of adding carboxy methyl cellulose material (CMC) to low density polyethylene on x-ray radiation attenuation . The linear attenuation coefficient (μ_l) was calculated for the voltage range mentioned above , through linear equations of the yield of graphic representation between the logarithmic absorption and the sample thickness X(cm). The mass attenuation coefficient (μ_m) could also be calculated through the graphic relation between the logarithmic absorption and the equivalent thickness of the sample $X_m(gm/cm^2)$ such that slope of the graphic relation represents linear the attenuation coefficient or mass attenuation coefficient. The calculated results indicated that the efficiency of prepared material to absorb X-ray and to attenuate it were high. This efficiency change relatively according to the added ratio and on type of material .This indicate a significant positive result for these adders on the characteristic radiation attenuation of the polymer,¹ low density polyethylene.

DOI: <http://dx.doi.org/10.31257/2018/JKP/100215>

تلعب عدد من العوامل المختلفة مثل (حجم الحشوات ، طبيعتها العضوية ، تركيزها وطبيعة التداخل مع مصفوفة البوليمرأضافة الى تركيبها الكيمياوي) دوراً مهماً في تحديد الخواص الفيزيائية للمترابكات البوليمرية [12].

الهدف من هذه الدراسة هو تصنيع بوليمرات متراكبة من البولي اثيلين واطئ الكثافة (LDPE) مضاف إليها مسحوق كاربووكسي مثل سليولوز لغرض حجب الأشعة السينية.

٢. الجزء النظري:

تقصر دراستنا هنا على التأثير المتبادل بين الإشعة والمادة مثل امتصاصها الإشعاعات في المادة او اختراقها لها وتخالف هذه التأثيرات باختلاف نوع الإشعة واختلاف طاقتها فعد سقوط حزمة متوازية من الإشعة على المادة المتخصصة يخرج الفوتون منها نتيجة تفاعله مع احد ذرات المادة وذلك بسبب امتصاصه بالكامل وفائه او بسبب تشتتة مما يؤدي الى انحرافه عن مساره بذلك يكون عدد الفوتونات التي تخرج من الحزمة مقدارها dn تتناسب طردياً مع عدد الفوتونات الساقطة I_0 ومع سمك المادة الموهنة (المتمتصة) dx أي انه [14,13]

أي انه :

$$dI = -\mu I_0 dx \quad (1)$$

اذ ان μ هو ثابت التناوب ويعرف باسم معامل التوهين الخطي وهو يختلف قليلاً عن معامل الامتصاص الخطي اما الإشارة السالبة فتعني تناقص عدد الفوتونات التي تخترق المادة فكلما زادت مسافة التغلغل من المادة (أي زيادة عدد الفوتونات الخارجى من الحزمة كلما زاد سمك المادة المتمتصة) [16,15] وعند تكامل طرفى المعادلة اعلاه نحصل على العلاقة المعروفة التالية :-

$$I = I_0 e^{-\mu x} \quad (2)$$

اذ ان I_0 هي شدة الإشعاع الساقط على المادة وهي شدة الإشعاعات التي اخترقت سماكة المادة مقداره x ولا تشمل أية إشعاعات ثانوية قد تنتج بسبب التفاعل داخل هذا السمك [17].

يعتمد معامل التوهين الخطي μ على طاقة الإشعاعات وعلى نوع المادة، لذلك عند قياس معامل التوهين لمادة ما يوضع مرشح على طريق الأشعة الساقطة لغرض الحصول على طاقة واحدة ويرتبط معامل التوهين الخطي μ بعدد الذرات n من المادة المتمتصة وبالمقطع العرضي الكلى σ لتفاعل الفوتونات مع المادة فمعدل التوهين بالنسبة للتغلغل (أي التوهين في 1cm من المادة) يتتناسب مع شدة الفوتونات الساقطة I_0 ومع كل من عدد الذرات في وحدة الحجم (cm^3) n والقطع العرضي الكلى σ [18] أي ان :

$$-\frac{dI}{dx} = n \sigma I_0 \quad (3)$$

وبمقارنة هذه العلاقة الأخيرة بالعلاقة السابقة يتضح انه:

١. مقدمة

تعرف البوليمرات (Polymers) بأنها عبارة عن مركبات كيميائية عملاقة مكونة من عدد كبير من المجاميع الذرية المرتبطة مع بعضها بواسطة أواصر كيميائية مكونة سلسل طويلة، وتدعى عناصر هذه السلسل بالوحدات المتكررة وتسمى المونومر (Monomer) التي تمثل الوحدة الأساسية لبناء البوليمر [3-1].

بعد البولي اثيلين بنوعيه العالي والواطئ الكثافة من البوليمرات التي تمتلك خواص مهمة ومرغوبة بها مثل امكانية الحصول عليه بدرجة حرارة عالية من التبلور وامكانية تحويلة الى بولي اثيلين مشابك عرضياً أضافة الى امكانية تركيبه بحيث يتصرف تصرف البوليمرات المتشكلة حرارياً وذلك باستخدام طرائق مختلفة مثل الاشعاع او البieroوكسيدات او السليفات اذ يمكن الاستفادة من بعض هذه الخواص للحصول على كثافة بوليمرية مقاومة للتصدع الاجهادي ذات مقاومة افضل للمواد والمذيبات الكيميائية واكثر صلابة وذات استقرار حراري افضل [4].

تدخل البوليمرات في استخدامات واسعة في المجالات التكنولوجية والصناعية والتطبيقات الالكترونية، وعلى الرغم من هذا فلا تزال هناك بعض المشاكل التطبيقية الهندسية للبوليمرات مثل قلة صلابتها (Stiffness)، قلة ملائتها (Strength) مقارنة مع المعادن، ولقد استخدمت طرائق عديدة لتحسين هذه العيوب مثل التدعيم بالألياف أو يكون التدعيم بهيئة قشور (Flakes) أو حشوات (Fillers) أو دفائق (Particles)، وذلك لتقوية تمسك جسيمات البوليمر [5,6].

وتعرف الحشوات (Fillers) على انها مواد صلبة تضاف للبوليمرات لتحسين خواصها وتقليل كلفتها ولها تأثير معاكس للملدنات اذ تقلل من ليونة البوليمر ، او تعرف على انها مواد عضوية او لا عضوية تضاف للبوليمر اما لغرض زيادة حجم المادة الدانتية مما يخفض من كلفتها وفي هذه الحالة تسمى بالملئيات الخاملة او قد تحسن بعض الخواص الميكانيكية وتدعى في هذه الحالة بالملئيات الفعالة [7-9].

ويمكن تقسيم الحشوات (Fillers) بالنسبة لفعاليتها إلى الأقسام التالية [10، 11]

أ - حشوات فعالة (Active fillers): وهي الحشوات التي تلعب دوراً كبيراً في تقوية المواد المرنة والمطاط وان إضافة هذه الحشوات الفعالة تحت درجة الانتقال الزجاجي تتقلل الهشاشة.

ب - الحشوات غير الفعالة (Inactive fillers): تستعمل هذه الحشوات لتقليل كلفة المادة وتحسين المنتجات البوليمرية من حيث الشكل والحجم، وبذلك فإن نسبة الحشوة لمادة تكون مهمة جداً وتكون هذه الحشوات عضوية مثل (الناليون والرایون) او غير عضوية مثل (الزجاج والكاربون).

الجدول رقم (1) بعض خصائص البولي أثلين واطئ الكثافة المستخدم في البحث [20]

Property	LDPE
Trade Name	Scpilex (463)
Density (g/cm ³)	0.921-0.924
Melt Index (g/10min)	0.28-0.38

واستخدمت مادة كاربوكسي مثيل سليلوز كمضاف والموضع تركيبيها في الشكل (1) الى بولي اثيلين واطى الكثافة . وتتلخص عملية تصنيع النماذج من خلال استخدام جهاز المازج الباق (Mixer and extruder) من نوع (Haake) System 90 Torgue Rheameter) قبل شركة (Haake) الامريكية في درجة حرارة (160°C) بالإضافة النسب الوزنية [10, 5,3.5,2.5,1] اذ انجزت عملية المزج بالحفاظ على العوامل التالية، عدد دورات (32) ولمدة (15) min . استخدم في التحضير المازج من نوع (Rheometer 600 mixer) والذي يتميز بالسيطرة الدقيقة على درجة الحرارة اثناء عملية المزج وقابلية التسخين والتبريد السريعة وان اكبر كمية يمكن مزجها بهذا الجهاز تتراوح بين (45-60)gm على كثافتها وبعدها يكبس المزيج باستخدام المكبس الهيدروليكي (F&R.Al.Haddad) والمصنع داخل العراق والمجهز بنظام تبريد ومنظومتين للتسخين ، ثم انجزت عملية الكبس للنماذج بواسطة المكبس الهيدروليكي تحت درجة حرارة (175°C) وضغط (5 tons) ولمدة (3min) ثم يرفع الضغط الى (15 tons) لمدة (6 min) . ثم يسحب النموذج ذو الابعاد (20X20)cm الى جهاز التقطيع اذ قطع النماذج باستخدام الجهاز (Automatic Diepunch-code 6050) او يمكن تقطيعها يدويا حسب ابعاد العينة المستخدمة في قياسات الحجب الاشعاعي.

٤.- الاجهزه المستخدمة في القياس

يبين الشكل(٢) أدناه الجهاز المستخدم في قياسات خصائص التدريع الإشعاعي للأشعة السينية والذي يتكون من جهاز توليد الأشعة السينية والكشف عنها المائي المنشأ (LEYBOLD-JERAUEUE)

احجز بيت القياسات وفقاً لطريقه العمل التالية :

$$\mu = n \sigma \quad \dots \dots \dots \quad (4)$$

أي ان معامل التوهين الخطي هو عبارة عن حاصل ضرب عدد الذرات الى الحجم من المادة في المقطع العرضي الكلى عند الطاقة المعنية .

اذ ان المقطع العرضي الكلي لإزالة الفوتوна من
الحزمة بقناعات الامتصاص (التأثير الكهروضوئي، إنتاج
الازواج) والاستطرارة (تأثير كوبكتن)[19].

وبذلك يصبح المقطع العرضي الكلي لها عبارة عن مجموع المقاطع العرضي لكل نوع على حدة وعليه يصبح معامل التوھين الخطى لمادة معينة عند طاقة معينة E هو عبارة عن مجموعة التوھين الجزئية لكل التأثيرات الحاصلة.

وكثيراً ما تستعمل معاملات توهين أخرى باسم معامل التوهين الكثي او معامل التوهين الذري وترتبط هذه المعاملات الأخيرة بمعامل التوهين الخطى بالعلاقة التالية :

$$\mu_{\text{mass}} = \mu / \rho (\text{cm}^2/\text{gm}) \quad \dots \dots \dots \quad (5)$$

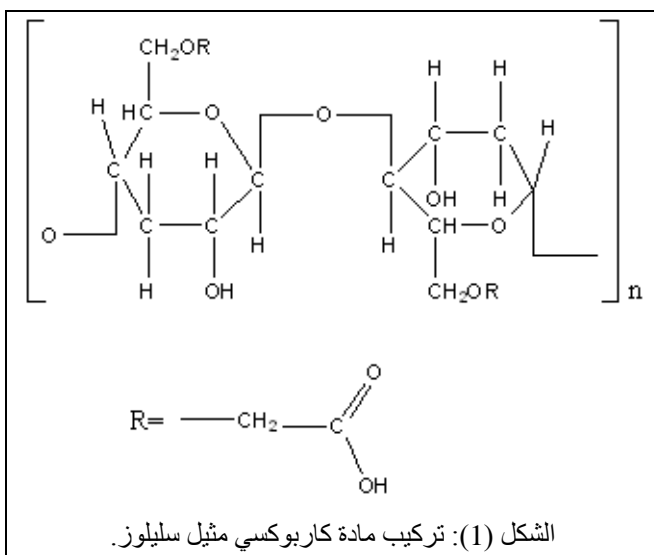
اذ ان ρ هي كثافة المادة الحاجبة، A عددها الكتلي ، N_a عدد افوكادروا وتجدر الإشارة الى انه استخدام معامل التوهين الكلي لحساب سماك الحاجز الواقعية من الإشعاعات السينية او في ما هو عليه من إشعاعات كاما ويعود ذلك لاختلاف هذا المعامل باختلاف الطاقة والسبب الآخر والاهم هو تكون إشعاعات ثانوية داخل المادة ذاتها وعندها يكون السمك المحسوب اقل من السمك اللازم لتوهين تلك الإشعاعات خاصة وانها تتكون من اعمق مختلفة من الحاجز.

في بعض الأحيان يستخدم اصطلاح السمك النصفي من المادة $X_{1/2}$ وهو عبارة عن سمك المادة المعينة اللازم لخفض شدة الإشعاعات إلى النصف أي أنه:

وبالتالي فإن السمك النصفي هو

٣. الجزء العملي:

استخدم في هذا البحث البولي أثيلين واطئ الكثافة (Low Density Polyethylene) والمنتج من قبل الشركة العامة للصناعات البتروكيميائية (بصرة-伊拉克) على شكل مسحوق يوضح الجدول رقم (1) بعض الخصائص لهذا البوليمير النقي المستخدم في هذا البحث:



ومعامل التوهين الكتلي والامتصاصية والنفاذية من خلال المعادلات الخطية لنتائج التمثيل البياني المذكور أعلاه وهذا موضح في الجداول (6,5,4,3,2) والتي تمثل معاملات الحجب للأشعة السينية للعينات ذات النسب المختلفة فالإشكال المرقمة (8,7,6,5,4) توضح العلاقة الخطية بين لوغاريتيم الامتصاصية مع السمك ($X_m(\text{cm})$) اما في الشكل (3) فيمثل النفاذية للأشعة السينية كدالة للسمك للعينات ذات النسب المختلفة إذ يلاحظ التأثير الواضح على الامتصاصية بزيادة النسب المضافة للبولимер واطئ الكثافة دلت النتائج من خلال الإشكال المستعرضة أنفا وكذلك من خلال الجداول وعند المقارنة لنفاذية والامتصاصية إلى انه هناك كفاءة للمادة المصنوعة في توهين الأشعة السينية وبصورة خاصة العينة ذات النسبة 10% الامتصاصية تزداد لنسب المضاف من مادة CMC فتصل إلى 50% عند السمك 0.8cm

الجدول رقم (2): معاملات الحجب الإشعاعي للأشعة السينية عند نسبة المضاف 1%.

$X(\text{cm})$ 1% CMC	النفاذية %	الامتصاصية %	معامل الامتصاص الخطي cm^{-1}	سمك النصف mm
0.2	90	10	5.4	12.8
0.4	77	23		
0.8	61	39		

الجدول رقم (3): معاملات الحجب الإشعاعي للأشعة السينية عند نسبة المضاف 2.5%.

$X(\text{cm})$ 2.5% CMC	النفاذية %	الامتصاصية %	معامل الامتصاص الخطي cm^{-1}	سمك النصف mm
0.2	86	14	5.42	12.7

- تتأكد من وضع مرشح الزركونيوم في مكانة الملائم في مسار الأشعة السينية للحصول على طول موجي (0.71 A^0).
- نحسب تأثير الإشعاعات الخلفية (BACK GROUND) لمدة (100) ثانية.
- نجعل تيار الفتيلة واحد مللي أمبير وجهد الأنود (21) كيلو فولت.
- نجد عدد النبضات خلال 100 ثانية بدون مادة الامتصاص لإيجاد (I₀).
- نجد التغير الحاصل في معدل النبضات (I) مع تغير سمك شرائح البولимер الجديد.
- نحسب معامل الامتصاص (μ) للبولимер الجديد وسمك النصف العملي والنظري والامتصاصية (I/I₀) في كلتا الحالتين.



شكل (2): توضح الجهاز المستخدم في القياس.

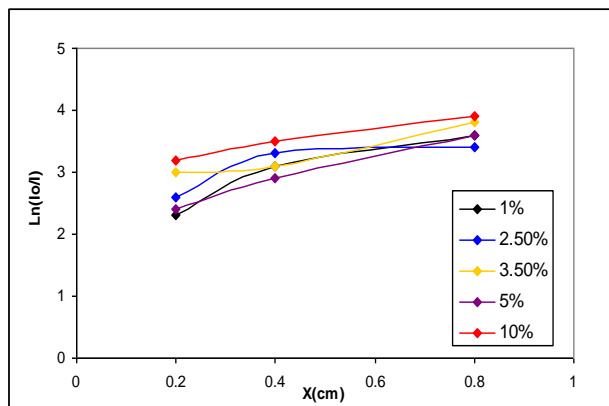
٥. الحسابات والنتائج

درست الامتصاصية والنفاذية ومعامل التوهين للعينات المشار لها بالجداول (6,5,4,3,2) كل على حدة فاستعرضت إشكالها (8,7,6,5,4,3) من خلال قياس معدلات العد (I, I_0) للنموذج المشار لها وامكن حساب لوغاريتيم الامتصاصية للأشعة السينية . ان العلاقة بين لوغاريتيم الامتصاصية وسمك النموذج هي علاقة خطية حسب المعادلة رقم(2) التي يمكن كتابتها بالشكل التالي :

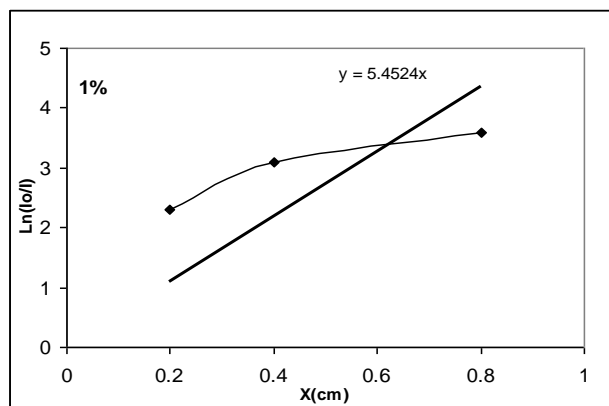
$$\mu = -(1/x) \ln(I/I_0) (\text{cm}^{-1})$$

اذ ان (I/I_0) نسبة النفاذ .

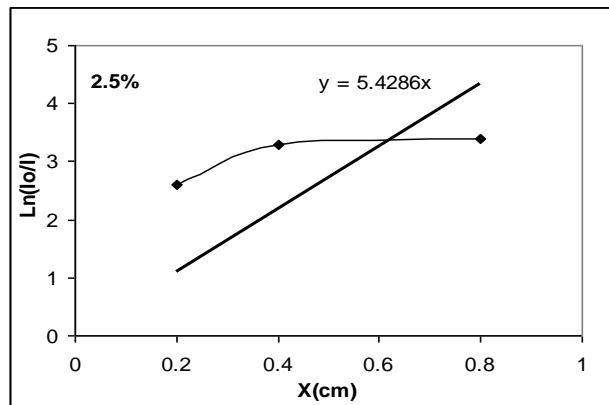
ومن عملية التمثيل البياني من خلال العلاقة بين قيمة لوغاريتيم الامتصاصية للأشعة السينية مع سمك النموذج ($x(\text{cm})$) او السمك ($x_m(\text{gm/cm}^3)$) للبولимер في مدى الفولتنية (21kv) سنحصل على قيم معامل التوهين الخطى



شكل (٣): يمثل لوغاريتم الامتصاصية $\ln(I_0/I)$ كدالة لسمك المادة (cm) وللنسبة المختلفة من مضاد CMC.



شكل (٤): يمثل لوغاريتم الامتصاصية $\ln(I_0/I)$ كدالة لسمك المادة (cm) للنسبة 1% من مضاد CMC.



شكل (٥): يمثل لوغاريتم الامتصاصية $\ln(I_0/I)$ كدالة لسمك المادة (cm) للنسبة 2.5% من مضاد CMC.

0.4	71	29		
0.8	70	30		

الجدول رقم (٤): معاملات الحجب الإشعاعي للأشعة السينية عند نسبة المضاف 3.5%.

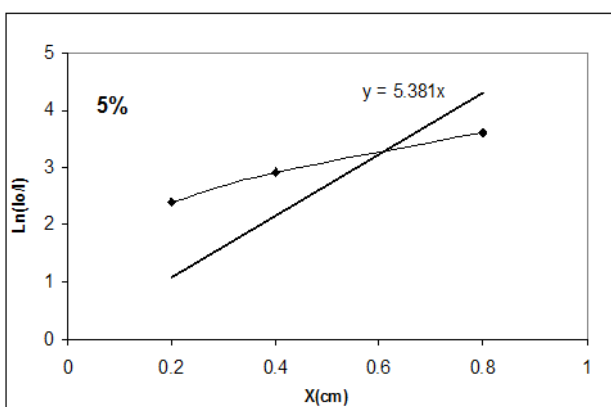
X(cm) 3.5% CMC	النفاذية %	الامتصاصية %	معامل الامتصاص الخطي cm^{-1}	سمك النصف mm
0.2	78	22	5.8	11.9
0.4	77	23		
0.8	55	45		

الجدول رقم (٥): معاملات الحجب الإشعاعي للأشعة السينية عند نسبة المضاف 5%.

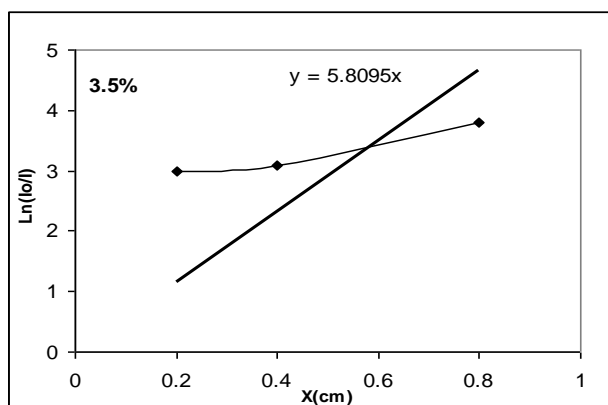
X(cm) 5% CMC	النفاذية %	الامتصاصية %	معامل الامتصاص الخطي cm^{-1}	سمك النصف mm
0.2	88	12	5.38	12.8
0.4	81	19		
0.8	63	37		

الجدول رقم (٦): معاملات الحجب الإشعاعي للأشعة السينية عند نسبة المضاف 10%.

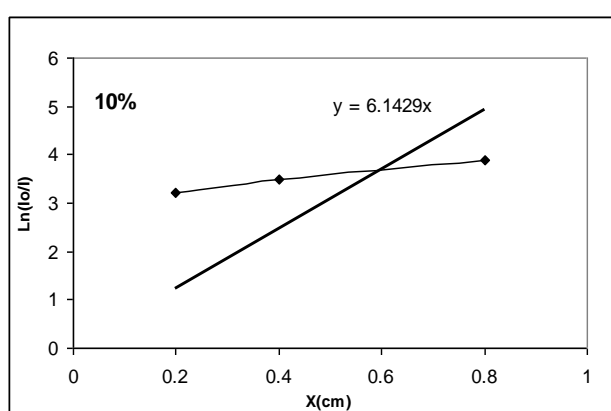
X(cm) 10% CMC	النفوذية %	الامتصاصية %	معامل الامتصاص الخطي cm^{-1}	سمك النصف mm
0.2	75	25	6.14	11.2
0.4	66	34		
0.8	50	50		



شكل (٧): يمثل لوغاريتم الامتصاصية $\ln(I_0/I)$ كدالة لسمك المادة $\ln(I_0/I) > \text{cmc}$ الماءة (X(cm) للنسبة 5% من مضاف cmc)



شكل (٦): يمثل المعامل $\ln(I_0/I)$ كدالة لسمك المادة (X(cm) للنسبة 3.5% من مضاف cmc)



شكل (٨): يمثل لوغاريتم الامتصاصية $\ln(I_0/I)$ كدالة لسمك المادة (X(cm) للنسبة 10% من مضاف cmc).

[1] M. P. Stevens, "Polymer chemistry", New York, Oxford, (1999).

[٢] جمال الرفاعي ،فارس السويلم "البوليمرات تركيبها وخصائصها "معهد بحوث البتروكيميويات ، المملكة العربية السعودية ،2011.م

[3] S.H.AL-tamimi "Study of dielectric properties for composites high dielectric constant " M.Sc.Thesis, Iraq, Collage of Education, Basra University,(2012).

[4] E. Krijnen, M. Marsman and R. Holweg, Journal of Coated Fabrics, vol. 24, Oct. 152–161, (1994).

[5] Nadhim A.,Hameed A. Hamadi,Thamir Salman,Wael A.S. and Abdullah K. journal of al-qadisiyah for pure science , Vol.17, 1-16, (2012).

المصادر

[٦] علي فليح ، نبيل محمد العبيدي " الكيمياء الصناعية وخاماتها " جامعة البصرة ،(1989).

[7] Hameed A. Hamadi,Nadhim A., Wael A.S. and Abdullah K.. journal of al-qadisiyah for pure science , Vol.16, 1-10, (2011) .

[8] W.Callister," Materials science & Engineering an intoduation ", John Wiley , 6th Ed, (2003).

[٩] اربج رياض سعيد ،نور الدين رفيق " قسم العلوم التطبيقية ، الجامعة التكنولوجية ، بغداد، مجلة الهندسة والتكنولوجيا ،المجلد 29 ، العدد 15 ،(2011).

[10] M.S Bhatnagar"A Textbook of Polymers, Chemistry and Technology of polymer Processing and Application", Published by S. Chand& Company LTD, New Delhi,(2004).

- [11] N.G. Gaylord, R.Mehta, V. Kumar, and M.Tazi, "Polymeric Materials Science and Engineering, Proceeding of the ACS Division of Polymeric Materials, Sci. , (1988).
- [12] Hameed A., Nadhim A., Wael A.S. and Abdullah K., journal of al-qadisiyah for pure science , Vol. 14 , 1-10, (2010).
- [13] Leo, W.R., "Techniques for nuclear and particle physics Experiments ", Springer – Verlag, Berlin (1987).
- [14] C.H. Shin, D.K. Park, B. Noh and M.C. Jo, Dongseo University, Korea 617-716, (1998).
- [15] K.S. Whitley, T.S. Gates, J. A. Hinkley and L.M. Nicholson. NASA, Langley Res. Cen. Hampton, Virginia, 23681, 2199 (2000).
- [16] L.E. Nielson, "Mechanical Properties of Polymer and Composite" Marcel Dekker Inc., New York, (1974).
- [17] J.T. Lutz, " Thermoplastic Polymer Additives: Theory and practice", Marcel Dekker, New York, (1989).
- [18] H.F. Mark, N. M. Bikales, .C. Overberger and G. Menges, "Encyclopedia of Polymer Science and Engineering " Vol.14, Wiley– Interscience, New York, (1986).
- [١٩] عاصم عبد الكريم عزوز" مبادئ في الفيزياء النووية" مطبعة ، جامعة الموصل 1982.
- [20] Ahmed J. Mohammed, International Journal of Science and Technology, 3 , 1:18-22. (2014).